

このPDFは、CQ出版社発売の「実用マイクロ波技術講座 -理論と実際- 第4巻」の一部分の見本です。
内容・購入方法などにつきましては是非以下のホームページをご覧下さい。
<http://www.cqpub.co.jp/hanbai/books/79/79741.htm>

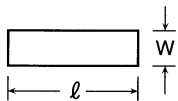
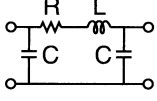
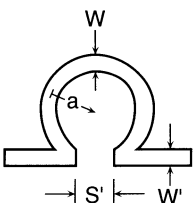
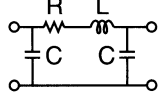
資料

11 集中定数素子の定数

[1] インダクター (集積回路用)

構造と設計公式及び文献を表1にまとめた。

図1 集積回路に用いるインダクターの構造とインダクタンス及びQ値

構造	等価回路と定数	文献
直線リボン状	  $L \text{ (nH)} = 2 \times 10^{-4}l \left[\ln \left(\frac{l}{W+t} \right) + 1.193 + 0.2235 \frac{W+t}{l} \right] \cdot K_g \quad (1-a)$ $R (\Omega) = \frac{KR_s l}{2(W+t)} \quad (1-b)$ $Q = 2.15 \times 10^3 \frac{L \text{ (nH)}}{K} \frac{W+t}{\ell} \sqrt{\frac{\rho \text{ (Cu)}}{\rho}} \cdot \sqrt{\frac{f \text{ (GHz)}}{2}} \quad (1-c)$ <p>[ℓ は μm、 t は導体の厚さ]</p>	[1] [3]
コイル状	  $L \text{ (nH)} = 1.257 \times 10^{-3}a \left[\ln \left(\frac{a}{W+t} \right) + 0.078 \right] \cdot K_g \quad (2-a)$ $R (\Omega) = \frac{KR_s}{W+t} \pi a \quad (2-b)$ $Q = 0.3422 \times 10^3 \frac{L \text{ (nH)}}{K} \frac{W+t}{a} \sqrt{\frac{\rho \text{ (Cu)}}{\rho}} \sqrt{\frac{f \text{ (GHz)}}{2}} \quad (2-c)$ <p>[(1-c) 式で $\ell = 2\pi a$ を代入して得る]</p>	[1]

見本

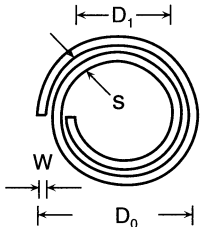
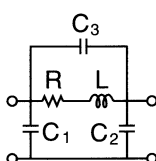
構造	等価回路と定数	文献
円形スパイラル状	$L \text{ (nH)} = 0.03937 \frac{a^2 n^2}{8a + 11c} \cdot K_g \quad \left. \begin{array}{l} \\ \end{array} \right\} (3-a)$ $a = \frac{D_o + D_l}{4}, \quad c = \frac{D_o - D_l}{2}$   $R \text{ (\Omega)} = \frac{k\pi a n R_s}{W} \quad (3-b) \quad [1]$ $C_3 \text{ (pF)} = 3.5 \times 10^{-5} D_o + 0.06 \quad (3-c) \quad [5]$ $\frac{Q D_o^{\frac{1}{2}}}{L_s^{\frac{1}{2}}} = \frac{1.25 \times 10^2 (W + t)}{K \left(1 - \frac{7}{15} - \frac{D_l}{D_o} \right)^{\frac{1}{2}}} \cdot \sqrt{\frac{\rho \text{ (Cu)}}{2}} \cdot \sqrt{\frac{f \text{ (GHz)}}{\rho}} \quad (3-d) \quad [2]$	
角形スパイラル状	$L \text{ (nH)} = 0.3346 \times 10^{-10} D_o \text{ [cm]} \times n^{\frac{5}{3}} \quad \left. \begin{array}{l} \\ \end{array} \right\} (4-a)$ $= 0.3346 \times 10^{-10} \frac{A}{W^{\frac{5}{3}}} \quad [2]$ $D_o = \sqrt{A}, \quad W = S \quad \left. \begin{array}{l} \\ \end{array} \right\} [7]$ $A: \text{コイルの表面積 [cm}^2\text{]}, \quad n: \text{コイルの巻数}$ $Q_0 = 12.4 \frac{f}{f_0} \times \frac{t^2}{\rho} \times \frac{1}{n^{\frac{4}{3}}} \times 10^4 \quad [5]$ $[t: \text{導体の厚み cm}, \quad \rho: \text{固有抵抗}]$ $f_0 \text{ (自己共振周波数)} = 75 \times 10^8 \frac{W}{A} = 18 \times 10^8 \frac{1}{A^{\frac{1}{2}} n} \quad (4-b) \quad [7]$ <p style="margin-left: 200px;">$[\epsilon_r = 4 \text{ のとき}]$</p> <p style="margin-left: 200px;">$[n \text{ は巻数}]$</p>	
	$Q = \frac{\omega L}{R}, \quad K_g = 0.57 - 0.145 \ln \frac{W}{h}, \quad \frac{W}{h} > 0.05 \quad (5-a) \quad [3]$ $K = 1 \quad \left. \begin{array}{l} \\ \end{array} \right\} \text{線} \quad [3]$ $= 1.4 + 0.217 \ln \left(\frac{W}{5t} \right), \quad 5 < \frac{W}{t} < 100 \quad \left. \begin{array}{l} \\ \end{array} \right\} \text{リボン} \quad [4]$ $= 1 + 0.333 \left(1 + \frac{S}{W} \right)^{-1.7} \quad \left. \begin{array}{l} \\ \end{array} \right\} \text{スパイラル} \quad [3]$	

表1に於いて、 K_g はインダクターが接地に近接することによる補正係数で[3][4]で、 K はインダクターの断面の鋭った所への電流集束効果に対する補正係数である。実例として直線リボンの数値例を図1に、また円形スパイラルの数値例を図2にそして円形スパイラルの共振周波数を図3に示した。また円形スパイラルの理論値と実測値を表2及び表3に示した[9]。また角形スパイラルのインダクタンスの理論値を図4に示す[10]。

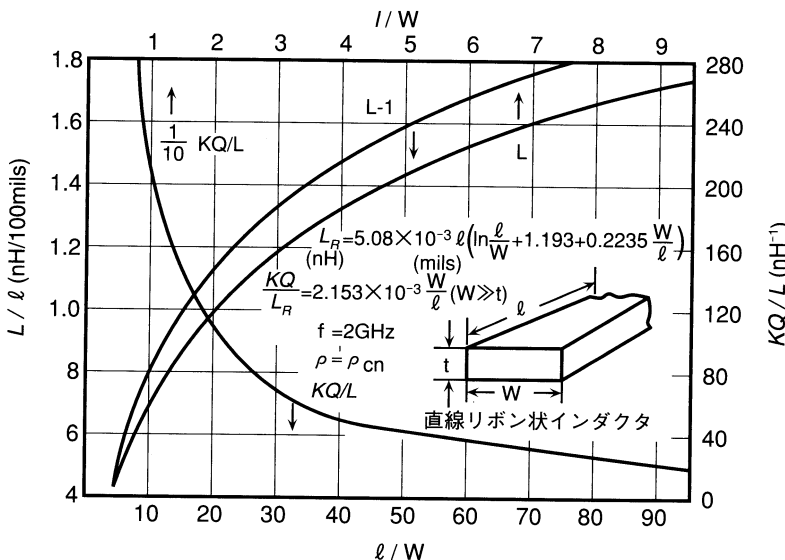


図1 直流リボン状インダクターのインダクタンスおよびQ値 [(2-26)より引用]

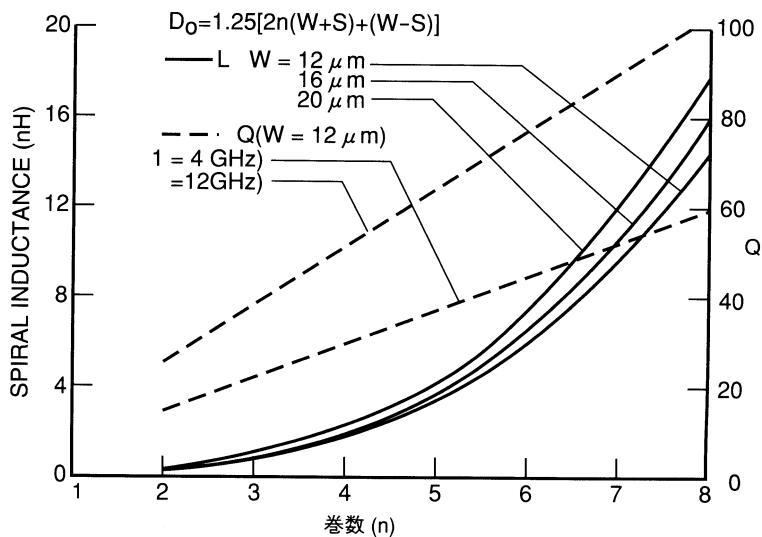


図2 円形スパイラルのインダクタンスとQ値 [5]
[$h = 200\mu m$, $S = 10\mu m$]

見本

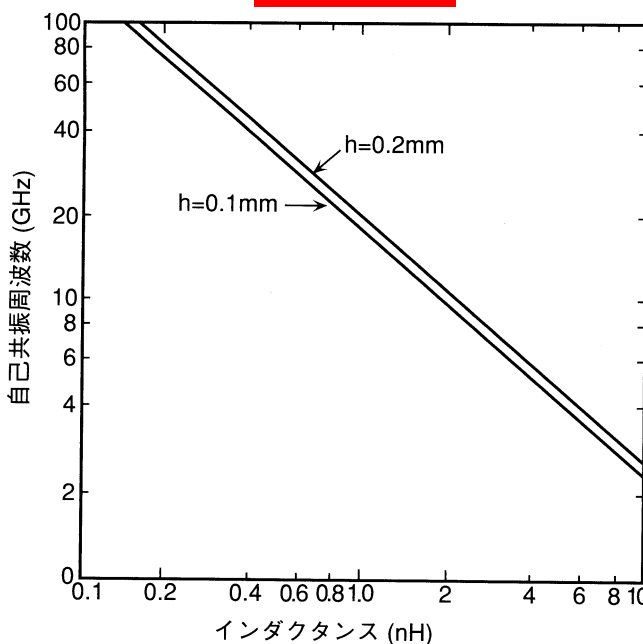
図3 $G_a A_s$ 基板上の平面円形スパイラルの自己共振周波数

表2 円形スパイラルの理論値と実験値の比較 [9] —その1—

W (mm)	S (mm)	D_o n	L(theo- retical) (nH)	L(meas- ured) (nH)	C_3 (pF)	C_1 (pF)	C_2 (pF)	Q (at 4 GHz)
0.10	0.10	1.5	1.30	3.7	4.0	0.13	0.10	0.07
0.05	0.05	2.5	1.50	14.1	14.3	0.11	0.09	0.05
0.10	0.10	2.5	1.80	9.2	9.0	0.14	0.18	0.08
0.10	0.10	3.5	2.00	18.7	19.0	0.15	0.17	0.09

表3 円形スパイラルの理論値と実験値の比較 [2] —その2—

巻数 %	d_0 (mils)	W (mils)	s (mils)	d_i (mils)	L nH	Q $f = 0.5\text{GHz}$	Q $f = 1\text{GHz}$	Q $f = 2\text{GHz}$
2.5	48	4	2	11	4.5(c) 4.4(m)	81(c) 43(m)	115(c) 61(m)	162(c) 100 \pm 20(m)
2.5	49	5	1	11	4.3(c) 4.4(m)	97(c) 52(m)	137(c) 137(m)	194(c) 120 \pm 25(m)
3.0	32	2.5	1.0	10	4.8(c) 4.6(m)	67(c) 36(m)		

$h = 12\mu\text{m}$ (m) : 測定値 (c) : 式(3-a)、(3-d) よりの計算値